

## II-104 円柱橋脚周辺の流れの特性

京都大学 工学部 正員 中川 博次  
 京都大学 工学部 正員 〇鈴木 幸一

### 1. 予えがき

河床変動現象は流れの場と河床境界面との相互作用によるものであつて、特に構造物周辺の局所洗掘では流れの三次元特性や渦の発生によつてその機構はきわめて複雑である。したがつて橋脚周辺の局所洗掘を考える場合、まず初期の段階を対象として流れの特性を正確に把握し次いでその流れの河床面への作用力と河床構成材料の運動との関係を明らかにするというステップを踏まざるを得ないであらう。本研究では、開水路におかれた円柱の周りで主流がゆるやかに曲がる領域について上流側の二次元せん断流のもつてゐる渦度成分が變形してゐる二次流が發達して行くものと考え、主流をポテンシャル流とし、それからの擾動流を考えることによつて流速分布および流れの河床面への作用力について理論的、実験的考察を加へた。

### 2. 渦度成分

図-1のような座標系において接近流はx方向にUでz方向のみを變化する二次元流でありU=1のときの二次元(x, y-平面)ポテンシャル流の速度ベクトルを $\vec{V}$ とすると $U\vec{V}$ は基本的擬二次元流を表わす。これから少しだけずれた量を $\vec{v}$ とすると任意点の流速は $(U\vec{V} + \vec{v})$ となる。W. R. Hawthorne<sup>1)</sup>の渦度保存式、

$$\text{rot.} \{ (U\vec{V} + \vec{v}) \times \text{rot.} (U\vec{V} + \vec{v}) \} = 0$$

をこのような流れにおいてベクトル解析することによつて、 $|\vec{v}| \ll \delta = |\vec{V}|$ の仮定のもとに $\vec{v}$ による $\vec{s}, \vec{n}, \vec{z}$ 方向の渦度成分を求めらる。すなわち、

$$\xi_0 = 2 \left( \frac{\partial U}{\partial z} \right) \delta \int_0^{\theta} \frac{d\theta}{\delta^2}, \quad \eta_0 = \frac{1-\delta^2}{\delta} \left( \frac{\partial U}{\partial z} \right), \quad \zeta_0 = 0 \quad (2)$$

ただし、 $\theta$ は流線接線とx軸とがなす角である。主流αもつてゐる渦度は $\vec{\omega}_0 = \text{rot}(U\vec{V}) = \xi_0 \vec{s} + \eta_0 \vec{n} + \zeta_0 \vec{z} = 0 \cdot \vec{s} + \delta \frac{\partial U}{\partial z} \vec{n} + 0 \cdot \vec{z}$ であるから全渦度成分は $\partial U / \partial z$ で無次元化して、

$$\xi_1 = \frac{\xi_0 + \xi_0}{\partial U / \partial z} = 2\delta \int_0^{\theta} \frac{d\theta}{\delta^2}, \quad \eta_1 = \frac{\eta_0 + \eta_0}{\partial U / \partial z} = \frac{1}{\delta}$$

$$\zeta_1 = \frac{\zeta_0 + \zeta_0}{\partial U / \partial z} = 0 \quad (3)$$

円柱の周りのポテンシャル流流線に沿つて数値計算すると、 $\xi_1, \eta_1$ は図-2, 3のようになる。

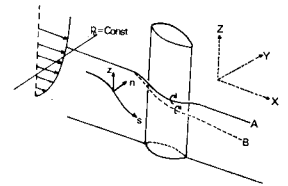


図-1. 座標系

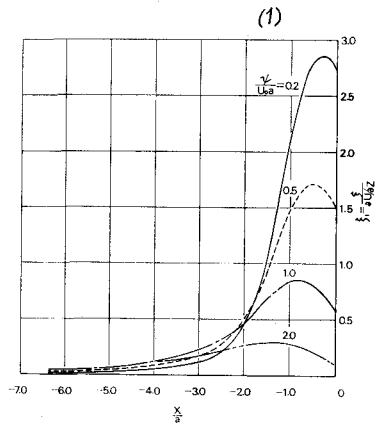


図-2 渦度成分 $\xi_1$ の变化図

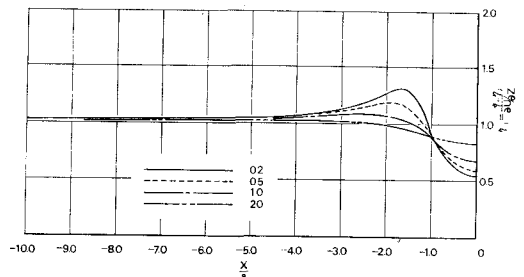


図-3 渦度成分 $\eta_1$ の变化図

3. 流速  $U_s, U_n$

流線  $S$  方向の流速を  $U_s$ ,  $n$  方向の流速を  $U_n$ , 鉛直方向の流速を  $U_z \approx 0$  とすると, (3)式より,

$$-\frac{\partial U_n}{\partial z} = \xi_1 \frac{\partial U}{\partial z}, \quad \frac{\partial U_s}{\partial z} = \eta_1 \frac{\partial U}{\partial z} \quad (4)$$

これを積分し,  $U_{s1}, U_{n1}$  をそれぞれ水面での流速とすれば,

$$\frac{U_{s1} - U_s}{U_{n1} - U_n} = -\frac{\eta_1(s, n)}{\xi_1(s, n)} \quad (5)$$

となり, Johnstone が実験的に求めた図-4 のようないわけり, 三角形モデル<sup>2)</sup>において領域2の存在を示している。Johnstone が使っているパラメータ  $A$  は  $\rho/\xi_1$  となり図-2, 3 によつて  $(s, n)$

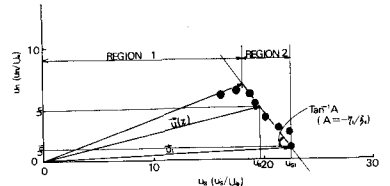


図-4 三角形モデル

平面で求めることができる。なお領域1は壁面近くで粘性による影響が強く, (1)式の右辺に  $-V^2(\xi\beta)$  という拡散項を加えて解かねばならない領域である。ii) 領域2に対して開水路乱流の流速分布として対数則,

$$\frac{\partial U}{\partial z} = \frac{U_*}{K} \frac{1}{z} \quad (6)$$

また, 厚さ  $\delta$  の領域1に対して層流底層を考慮するときの分布は,

$$\frac{\partial U}{\partial z} = \frac{U_*^2}{\nu} \left(1 - \frac{z}{\delta}\right) \quad (7)$$

で与えられるものとする。ただし,  $U_*$  は十分に上流側での摩擦速度,  $K$  はカルマン定数である。(4)式(6)(7)を代入し  $z' (=z/\delta) = 0$  で  $U_s = U_n = 0$ ,  $z' = \delta' (= \delta/\delta')$  で乱流域と層流域が接続するという条件のもとで積分すると,

$$0 \leq z' \leq \delta' ; \quad \frac{U_s}{U_*} = \frac{\eta_1 U_* \delta'}{\nu} \left(z' - \frac{z'^2}{2}\right) \quad (8)$$

$$\frac{U_n}{U_*} = \frac{\xi_1 U_* \delta'}{\nu} \left(z' - \frac{z'^2}{2}\right) \quad (9)$$

$$\delta' \leq z' \leq 1 ; \quad \frac{U_s}{U_*} = \frac{\eta_1}{K} \ln \frac{z'}{\delta'} + \frac{\eta_1 U_* \delta'}{\nu} \left(\delta' - \frac{\delta'^2}{2}\right) \quad (10)$$

$$\frac{U_n}{U_*} = -\frac{\xi_1}{K} \ln \frac{z'}{\delta'} + \frac{\xi_1 U_* \delta'}{\nu} \left(\delta'_n - \frac{\delta_n'^2}{2}\right) \quad (11)$$

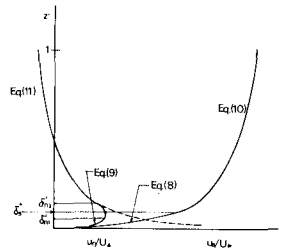


図-5 流速分布概念図

$\delta'_s (= \delta_s/\delta')$  について,  $z' = \delta'$  で乱流域と底層が連続的に接続するものとすると  $\eta_1 = \eta_1$  より,  $\delta'_s > \delta_s'^2$  と仮定すると,  $\delta'_s = \nu/K\eta_1 U_*$  となる。たとえは, Kármán 定数  $K = 0.4$ ,  $\nu = 10^{-2} \text{ cm}^2/\text{sec}$ ,  $\delta = 10 \text{ cm}$ ,  $U_* = 2.0 \text{ cm/sec}$  に対して  $\delta'_s = 1.25 \times 10^{-3}$  となり,  $\delta'_s = 0 (10^{-2} \text{ cm})$  である。 $\delta'_n (= \delta_n/\delta')$  については乱流域を支配する慣性力によつて生じる渦度は負であり, 粘性によるものは正であるため接続において遷移領域を想定する必要があるのである。すなわち, 底面近くで(9)式で表わされる領域  $0 \leq z' \leq \delta'_n$ , 底面からは(11)式で表わされる領域  $\delta'_n \leq z' \leq 1$  およびそれらの遷移領域  $\delta'_n \leq z' \leq \delta'_n$  とはわけられる。以上(8)式~(11)式を概念的に図示すれば図-5 のようになる。

#### 4. 底面せん断応力

底面近く \$a\$ 層流底層内でのせん断応力は  $\tau_s = \mu \frac{\partial u_s}{\partial z}$ ,  $\tau_n = \mu \frac{\partial u_n}{\partial z}$  と表わされ  $u_s, u_n$  に便宜的に (8), (9) 式を用いると,  $\tau_s = \mu \frac{\partial U_0}{\partial z} (1-z')$ ,  $\tau_n = \mu \frac{\partial U_1}{\partial z} (1-z')$  となり, 底面での  $\tau_{s0}, \tau_{n0}$  は  $z'=0$  に代入すると,  $\tau_{s0} = \rho g_1 U_0^2$ ,  $\tau_{n0} = \rho g_2 U_1^2$  となり.  $\tau_0 = \sqrt{\tau_{s0}^2 + \tau_{n0}^2}$  および, このと本テリシヤル流線とのなす角を  $\alpha$  とすると,

$$\frac{\tau_0}{\rho U_0^2} = \sqrt{g_1^2 + g_2^2}, \quad \tan \alpha = \frac{\tau_{n0}}{\tau_{s0}} = \frac{g_2}{g_1} \quad (12)$$

となり.

#### 5. 実験

実験は全長 14m, 幅 98cm, 深さ 30cm の長方形断面の一部透明アクリル製(円柱設置場所)の木製水路で行なった. 底面せん断応力はプラスチック管で測定し, 流速は (S, H) 平面で流向に向けるプランドル型ピトー管によって測定した. 図-6 に示される測定点について測定した結果の一部を示すと, 図-7, 8 のようである. 実験条件は  $Q = 24.8 \text{ l/sec}$ ,  $h_0 = 13.62 \text{ cm}$ , 平均流速  $U_0 = 26.05 \text{ cm/sec}$  と  $U_1 = 1.49 \text{ cm/sec}$  である.

$U_s/U_*$  図の  $U_s/U_*$  の実線は (14) 式であって,

$g_1'$  は一定としておける. 測点 3-6, 5, 4 と流線  $U/U_0 = 1.0$  に沿った流速分布をみると理論値がやや小さいのは  $U_1$  が分布形としてはよく似かよっている. 測点 3-1 の円柱の側面では,  $U_1$  の理論値が小さく実際の流れを十分表わすことができない. 図-8 は  $x/A = -2.0$  における各流線  $U/U_0 = 0.5, 1.0, 2.0$  での流速分布であって, 図-3 の  $U_1$  の変化図をみると  $x/A = -2.0$  における各流線間での  $U_1$  にかなりの差があるからこれを比較することは興味がある. 測点 3-5, 4-5 については実験値が小さいが分布形も一致しておりほぼ理論値であることがわかる.  $x/A$  の円柱に最も近い測点 2-5 では実験値が理論値よりかなり小さいこと. 測点 3-1, 2-5 のように円柱に近く近いところを除くは (14) 式によって  $U_s$  の分布が表示できる.

$U_n/U_*$   $U_n$  については (15) 式によって求めた場合  $U_n$  は流下方向に一定と考えることは実際現象を満足に表現できない. 実際には  $U_s, U_n$  について

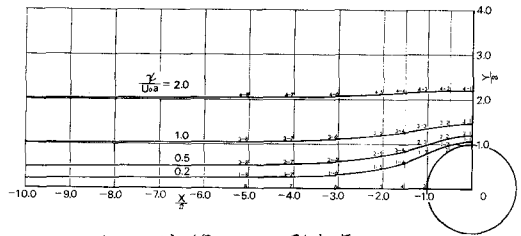


図-6 流線および測定点

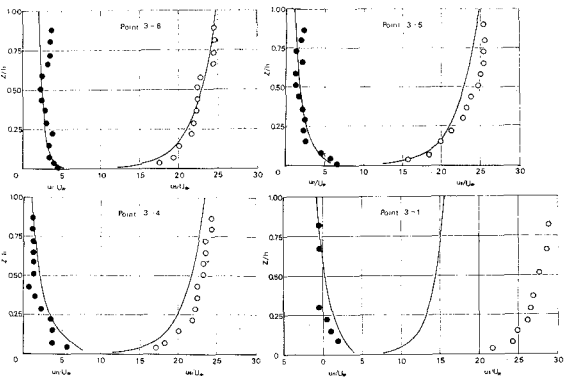


図-7 流速分布

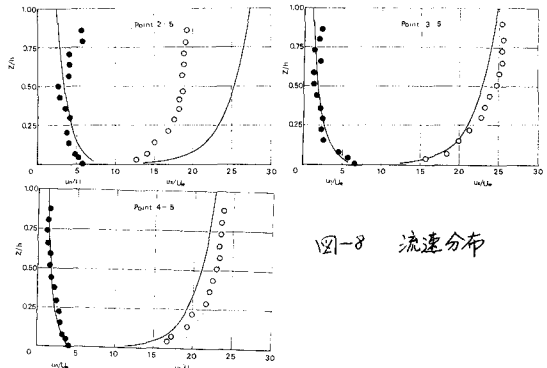


図-8 流速分布

連続の関係が成り立つ条件のもとに分布形を求めよべきであるが、 $\alpha$  や  $\beta$  の複雑な変化率を含むため厳密な解を得ることができません。ここでは便宜的に表面流速  $U_{s1}$  の実測値を用いて分布形を調べるとします。図-7, 8 の  $U_{s1}/U_{*}$  についての実線は、

$$\frac{U_{s1}}{U_*} = -\frac{z_1}{\kappa} \ln z_1' + \frac{U_{s1}}{U_*} \quad (18)$$

であった、黒丸で示されたものは実測値である。ピット管の測定精度等を考慮すると水面近くを除いて、分布形はほぼ理論値と実測値とは一致している。

$\tau_0/5U_*$ ,  $\tan \alpha$  図-9 は底面でのせん断応力の大きさをおよび方向を示したものであり、実線で示された矢印は (12) 式によって求めた理論値であり、点線の矢印が実測値である。円柱のすぐ近くにおいては特にせん断応力の向きに著しい不一致があるが円柱から少し離れたところではほぼ一致している。円柱のすぐ近い側面では  $\tau_0$  は上流側のせん断応力  $\beta U_*$  の 3~4 倍 (実測値) にもなっている。円柱の側面を除くのは (12) 式による底面せん断応力の大きさと方向を決定してよいであろう。

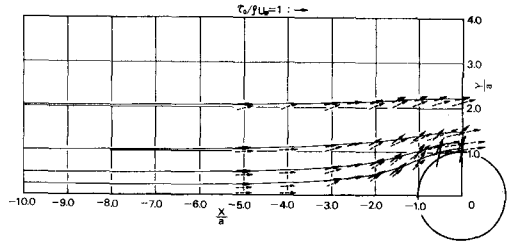


図-9 底面せん断応力の大きさをおよび方向

#### 6. あとがき

円柱に近いところで理論と実験が一致しないのは、そこでは、 $\tau_0$  の誘導過程での仮定  $|\mathbf{v}| \ll |\mathbf{V}|$  が成り立たないからであった。円柱のすぐ近い領域では三次元的な境界層の剥離によるいわゆる馬蹄形渦が発生するため、 $U_{s1}$  を考慮した全く別個の考え方をする必要があり。しかしその領域の外では、ほぼ実験値は理論解析の妥当性を示しているといえる。また、いわゆる層流底層についてはその層厚が非常に小さく今回の実験では認めることができなかった。

#### 参考文献

- 1) Hawthorne, W.R. ; The Secondary Flow About Struts and Airfoils, *Jour. of the Aeronautical Sciences*, Sep. 1954, pp 588~608
- 2) Johnstone, J.P. ; On The Three-Dimensional Boundary Layer Generated by Secondary Flow, *Trans. A.S.M.E.*, March 1960, pp 233~250